

هدایت موشک سوخت جامد با استفاده از روش جدید بر مبنای هدایت تابعی

محسن حوائی^۱، مسعود ابراهیمی^۲

۱ کارشناسی ارشد، دانشکده مهندسی مکانیک، دانشگاه تربیت مدرس، تهران

۲ استادیار، دانشکده مهندسی مکانیک، دانشگاه تربیت مدرس، تهران، ebrahimikm@modares.ac.ir

تاریخ دریافت: ۱۳۹۵/۰۹/۱۹

تاریخ پذیرش: ۱۳۹۶/۱۲/۰۵

چکیده

هدایت تابعی روش مناسبی برای هدایت موشک‌های سوخت جامد و بدون خاموشی اجباری است. در این مقاله روش جدیدی بر مبنای هدایت تابعی برای موشکی با سوخت جامد، کنترل آثودینامیکی و بدون خاموشی اجباری معرفی و با روش هدایت تابعی مقایسه شده است. در روش جدید، بعد از رسیدن موشک به شتاب حداقل، زاویه بردار سرعت موشک بهمنظور جبران خطاهای فاز فعال به‌گونه‌ای اصلاح می‌شود که اصابت به هدف تضمین شود. بدین‌منظور قبل از پرتاب، اطلاعات مربوط به زمان، همراه با بردارهای موقعیت و سرعت‌های نامی در جدولی ذخیره می‌شوند. در این روش، بهمنظور محاسبه اختلاف مقادیر نامی و اغتشاشی، از مفاهیم جدیدی استفاده شده است که طبق آنها مقادیر ذخیره‌شده نامی بهصورت اصلاح شده پس از شلیک مورد استفاده قرار می‌گیرند. روش هدایت با به‌کارگیری مشتقات جزئی مرتبه اول و دوم و پیاده‌سازی اشباع فرمان هدایت شبیه‌سازی شده است. نتایج شبیه‌سازی در پرواز اغتشاشی با روش هدایت تابعی موجود مورد مقایسه قرار گرفته است. همچنین صحة‌گذاری الگوریتم هدایتی در حضور انواع اغتشاشات پروازی انجام شده است. در نتیجه شبیه‌سازی و مقایسه خروجی‌های روش هدایت تابعی جدید با روش قدیمی، مزایای روش جدید نسبت به روش قدیمی تشریح شده است.

واژگان کلیدی

هدایت تابعی، سوخت جامد، کنترل آثودینامیک

۱. مقدمه

Q^* و \bar{V}_g صفر نمودن سرعت مانده است. در این روش اگر سرعت موشک با سرعت لازم برابر شد، فرمان قطع نیروی پیشران صادر می‌شد [۲-۱]. محاسبه سرعت مانده به روش

انتخاب روش هدایت موشک‌های بالستیک به عوامل مختلفی بستگی دارد. نوع سوخت یکی از مهمترین پارامترهای تأثیرگذار در روش هدایت است. در موشک‌های سوخت مایع، اساس روش‌های

و اصلاحاتی انجام شده است. این مقاله با اعمال اصلاحاتی در مراجع [۱۰-۸] به مoshک‌های سوخت جامد و خاموشی در جو نسبتاً رقیق می‌پردازد. در این روش، فرمان هدایت قبل از خاموشی موتور، که فشار دینامیکی بالاتر است، بهصورت لحظه‌ای ارسال می‌شود. در این روش از جدول اطلاعات نامی و از مفاهیمی چون \bar{V}_r و \bar{V}_g استفاده شده است که پس از تشریح مقدمه و سوابق تحقیق به جزئیات آن پرداخته خواهد شد. در ادامه، در بند ۱ به سوابق تحقیقات در هدایت مoshک‌های سوخت جامد پرداخته می‌شود. سپس در بند ۴-۱ سابقه هدایت تابعی و روش هدایت آن معرفی می‌شود. در بند ۲ نیز روش هدایت تابعی جدید معرفی و با روش هدایت تابعی قبلی مقایسه می‌شود.

۲. روش سرعت لازمه

بردار سرعتی که از یک نقطه بتوان با آن سقوط آزاد کرد و به هدف رسید را سرعت لازمه می‌گویند. اختلاف سرعت لازمه با سرعت لحظه‌ای، معیاری برای هدایت مoshک به نام سرعت مانده است [۲-۱]:

$$\bar{V}_g = \bar{V}_r - \bar{V} \quad (1)$$

بهطوری که در آن \bar{V} سرعت لحظه‌ای، \bar{V}_r سرعت لازمه و \bar{V}_g سرعت مانده است. اساس روش‌های Q و Q^* صفر نمودن سرعت مانده \bar{V}_g است. روش هدایت Q برای مoshک‌هایی که دارای صفحه پایدارند استفاده می‌شود روش Q^* در سیستم‌های ناوی بری متصل به بدنه کاربرد دارد. در این روش اگر سرعت مoshک با سرعت لازمه برابر شد، فرمان قطع نیروی پیشران صادر می‌شود. محاسبه سرعت مانده بهروش صریح و خمنی انجام می‌شود. در روش صریح برای محاسبه سرعت مانده، مقدار سرعت لازمه محاسبه و سپس سرعت واقعی مoshک (بهصورت مستقل) از آن کم می‌شود. روشی توسط زارچان و نلسون ارائه شده است که یکی از روش‌های متداول برای حل مسئله لامبرت محاسبه می‌شود [۳]. در این روش با استفاده از یک روش بازگشتی و با معلوم‌بودن زمان پرواز آزاد، بردار موقعیت مoshک و بردار موقعیت هدف، مقادیر اصلاح زاویه مسیر و سرعت لازمه بهعنوان خروجی محاسبه می‌شود. در روش خمنی، اختلاف سرعت لازمه (یا \bar{V}_g) و سرعت مoshک از طریق معادله دیفرانسیل حساب می‌شود که در آن مؤلفه‌های بردار \bar{V} نسبت به دستگاه مختصات اینرسی در معادله دیفرانسیل ۲ صدق می‌کند:

صریح و خمنی انجام می‌شود. در روش صریح برای محاسبه سرعت مانده، مقدار سرعت لازم محاسبه و سرعت واقعی مoshک (بهصورت مستقل) از آن کم می‌شود [۳]. در مoshک‌های سوخت جامد، اگر مoshک به سرعت لازم برسد، اما سوخت آن تمام نشده باشد، باید مسیر پرواز بهگونه‌ای تغییر کند که در نهایت مoshک به هدف اصابت نماید.

یک روش مرسوم برای مصرف انرژی اضافه، روش مدیوریت انرژی است [۴]. موضوع مهم در این روش بهدست آوردن مقدار زاویه اصلاح مسیر است. علیزاده (۱۳۷۸) این مفهوم را توسط حل هدایت بهینه و بهصورت ثئوری تحلیل کرده است [۵]. اینی (۱۳۷۴) مقدار زاویه اصلاح مسیر بهروش تجربی و در حالت خاص را برای مoshکی با موتور سوخت جامد و برد ۲۰۰ کیلومتر بهدست آورده است [۶]. پراجهاکار و کومار (۲۰۱۳) در پژوهش خود روش هدایتی برای مoshک سوخت جامد بر اساس تخمین نقطه اصابت و با انتگرال‌گیری از معادلات حرکت معرفی کرده‌اند [۷]. در این روش مقدار خطای اصابت با حل معادله دیفرانسیل بهدست می‌آید. با بهدست آمدن خطای اصابت مقدار اصلاح زاویه مسیر در لحظه خاموشی بهدست آمده، سپس سهم اصلاح زاویه مسیر در هر گام محاسبه می‌شود.

در روش هدایت تابعی برد مoshک بر اساس بردار موقعیت و سرعت پس از خاموشی موتور سوخت جامد تخمین زده می‌شود. سپس فرمان هدایت آن بهگونه‌ای ارسال می‌شود که با فرض ادامه مسیر بهصورت موتور خاموش مoshک به هدف اصابت نماید [۹-۸]. اما اگر پس از خاموشی موتور نیروی کنترلی به اندازه کافی وجود نداشته باشد، این روش ناکارآمد خواهد بود. روش بهبودیافته در هدایت تابعی روشی است که در آن علاوه بر استفاده از مشتقات مرتبه اول از مشتقات مرتاب بالاتر استفاده می‌شود. این روش که در [۱۰] معرفی شده است برای مoshک سوخت جامد و بدون خاموشی اجباری پیاده‌سازی شده است. این مرجع روش خود را برای مoshکی با خاموشی در خارج جو پیاده‌سازی نموده است. استفاده از این روش در مoshک‌های سوخت جامد با خاموشی در جو، به اعمال محدودیت در ارسال فرامین برای جلوگیری از شکست سازه نیاز دارد. در نتیجه از ارزش مشتقات جزئی مرتبه بالا می‌کاهد.

در این مقاله روشی جدید ارائه شده است که اساس آن بر مبنای روش هدایت تابعی است. اما مفاهیم جدیدی در آن تعریف

$$\Delta\gamma_y = \frac{\partial\gamma_y}{\partial CR} \Delta_{cr} \quad (5)$$

که در آن $\frac{\partial\gamma_p}{\partial DR}$ و $\frac{\partial\gamma_y}{\partial CR}$ ضرایب مشتقه جزئی برای اصلاح زاویه مسیر در صفحه پرواز و صفحه جانبی می‌باشند. در هر گام مقادیر لازم برای اصلاح زاویه مسیر به صورت زیر تخمین زده می‌شوند:

$$\gamma_p(i+1) = \Delta\gamma_p(i) + \frac{\Delta\gamma_p}{T_{burn-t}} \quad (6)$$

$$\gamma_y(i+1) = \Delta\gamma_y(i) + \frac{\Delta\gamma_y}{T_{burn-t}} \quad (7)$$

در ادامه مقادیر زاویه حمله و لغزش، تابعی از زوایای مسیر در صفحه فراز و سمت به دست می‌آیند [۷]:

$$\alpha = \frac{mv\dot{\gamma}_p + g\cos\gamma_p}{T + qCN_\alpha} \quad (8)$$

$$\beta = \frac{mv\dot{\gamma}_y \cos\gamma_p}{T + qCN_\alpha} \quad (9)$$

که در آن CN_α ضریب بی بعد تغییرات نیروی اثربودینامیکی لیفت نسبت به تغییرات زاویه حمله و T نیروی پیشران محوری است. نهایتاً مقدار فرمان هدایت در دو کanal فراز و سمت برای کاهش خطای اصابت به صورت زیر محاسبه می‌شود:

$$\theta_c = -(\gamma_p + \alpha) \quad (10)$$

$$\Psi_c = \frac{\Pi}{2} - (\beta + \gamma_y) \quad (11)$$

۴. روش هدایت بدون خاموشی، مدیریت انرژی

در موشک‌های سوت جامد، که امکان قطع نیروی پیشران وجود ندارد، باید روشی به کار برد شود که انرژی اضافه سوت را مصرف کند. یک روش مرسوم برای مصرف انرژی اضافه، روش مدیریت انرژی است. برای توضیح مفهوم مدیریت انرژی به شکل ۱ توجه کنید. در این شکل، یک قوس از دایره داریم که طول آنرا با ΔV_{cap} نشان می‌دهیم. این قوس اختلاف سرعت لازم با سرعت لحظه‌ای است. شعاع دایره‌ای که این مسیر را می‌سازد r بوده و زاویه مرکزی آن با 2θ نشان داده شده است. یک وتر دو سر این کمان را بهم وصل می‌کند. طول این وتر برابر با اختلاف سرعت لامبرت با سرعت واقعی بوده و با ΔV نشان داده می‌شود. اگر بردار نیروی پیشران بر نقطه اول مماس باشد، زاویه بین این دو بردار با وتر مذکور θ می‌باشد [۴]. با توجه به شکل ۱ داریم:

$$\Delta V_{cap} = 2\theta r \quad (12)$$

$$\Delta V = 2rsin\theta \quad (13)$$

بنابراین از تقسیم دو رابطه داریم:

$$\frac{\Delta V}{\Delta V_{cap}} = \frac{\sin\theta}{\theta} \quad (14)$$

$$\dot{V}_g^B = -Q^* \bar{V}_g^B - \bar{a}^B \quad (2)$$

همان‌گونه که ذکر شد، هدف صفر کردن بردار \bar{V}_g^B است. اگر بردار \bar{V}_g^B صفر شد، فرمان خاموشی صادر می‌شود. بدین‌منظور فرمان سرعت زاویه‌ای که به موشک داده می‌شود، متناسب با زاویه بین بردارهای \bar{V}_g^B و شتاب \bar{a}^B انتخاب می‌شود؛ یعنی:

$$\omega^B = k \frac{\bar{a}^B \times \bar{V}_g^B}{|\bar{a}| |\bar{V}_g|} \quad (3)$$

روش فوق برای موشک‌های سوت جامد، که امکان خاموشی ندارند، کاربرد ندارد. در موشک‌های سوت جامد برخلاف موشک‌های سوت مایع، قطع نیروی پیشران به‌راتبی انجام نمی‌گیرد. عموماً برای سادگی در طراحی موتور، از روش‌های هدایت بدون نیاز به خاموشی موتور به‌جای خاموشی موتور استفاده می‌شود. گفتنی است روش‌های جدید در هدایت موشک‌های سوت جامد و بدون خاموشی اجباری، از جمله موارد طبقه‌بندی شده در مراجع خارجی می‌باشد که در سال‌های اخیر از نشر آنها در مقالات جلوگیری شده است. در ادامه به بررسی مراجع در این زمینه پرداخته می‌شود.

۳. روش تخمین نقطه برخورد

در روش تخمین نقطه برخورد زاویه مسیر قبل از خاموشی موتور اصلاح می‌شود. در این روش نقطه اصابت در هر گام، پیش‌بینی شود. ابتدا مشخصات پروازی موشک در مسیر نامی خود شبیه‌سازی و اطلاعات آن قبل از شلیک در کامپیوتر پرواز ذخیره می‌شود. برای ارسال فرمان هدایت از انتگرال‌گیری از معادلات حرکت و بهروز شدن شرایط اولیه در هر گام استفاده می‌شود. خطای اصابت بر اساس اختلاف نقطه اصابت و پیش‌بینی خطای برد و سمت محاسبه می‌شود [۷]. با به دست آمدن خطای اصابت مقدار اصلاح زاویه مسیر در لحظه خاموشی به دست می‌آید. سپس سهم اصلاح زاویه مسیر در هر گام محاسبه می‌شود و زوایای حمله و لغزش تابعی از زاویه اصلاح زاویه مسیر محاسبه و ورودی سیستم انتپایوت قرار داده می‌شوند. در گام بعد، با توجه به خطای اصابت، مجدداً با ایجاد شرایط اولیه، روش فوق تکرار می‌شود و تا لحظه خاموشی موتور همچنان ادامه می‌باید. مقدار اصلاح زاویه مسیر در لحظه خاموشی در کanal برد و سمت به صورت زیر است

: [۷]

$$\Delta\gamma_p = \frac{\partial\gamma_p}{\partial DR} \Delta R \quad (4)$$

بردار سرعت می‌باشد، که در لحظه t_k به عنوان مقادیر نامی ذخیره شده‌اند. مقادیر \hat{x} , \hat{y} و $\hat{\theta}$ پیش‌بینی مقادیر موقعیت و اندازه بردار سرعت موشک در مسیر اغتشاشی در لحظه t_k می‌باشند که در [۹-۸] پیش‌بینی مقادیر فوق، پس از بیشینه شدن سرعت موشک و با فرض تغییرات خطی آن در حوالی نقطه خاموشی انجام شده است. اگر حرکت موشک در نزدیک مسیر نامی باشد، با استفاده از بسط تیلور حول نقطه t_k و با در نظر گرفتن جملات مرتبه اول می‌توان خطای برد را با توجه به اصلاح زاویه بردار سرعت موشک در لحظه t_k نوشت:

$$\begin{aligned} \Delta L &= \frac{\partial L}{\partial x} \Big|_{\substack{y_{t_k}^* \\ v_{t_k}^*}} \Delta x_{(t_k)} + \frac{\partial L}{\partial y} \Big|_{\substack{x_{t_k}^* \\ v_{t_k}^*}} \Delta y_{(t_k)} \\ &+ \frac{\partial L}{\partial v} \Big|_{\substack{x_{t_k}^* \\ y_{t_k}^*}} \Delta v_{(t_k)} + \frac{\partial L}{\partial \gamma} \Big|_{\substack{x_{t_k}^* \\ y_{t_k}^*}} \Delta \gamma_{(t_k)} \end{aligned} \quad (۱۸)$$

اگر زمان $t_{V_{max}}$ مربوط به سرعت بیشینه و t_k زمان انتهای هدایت باشد، با فرض اینکه در بازه $[t_{V_{max}}, t_k]$ تغییرات موقعیت، سرعت و شتاب خطی است و با تعریف $\delta t = t_k - t$ می‌توان تخمین پارامترها را به صورت زیر انجام داد.

$$\hat{x}_{t_k} = x(t) + v_x(t)\delta t \quad (۱۹)$$

$$\hat{y}_{t_k} = y(t) + v_y(t)\delta t \quad (۲۰)$$

$$\hat{v}_{t_k} = v(t) + \dot{v}(t)\delta t \quad (۲۱)$$

گفتنی است فرض خطی بودن تغییرات سرعت، فرضی است که در مراجع [۹-۸] به کار رفته است و همیشه صادق نیست. در روش جدید یا توسعه‌یافته، که در بند ۲ تشریح شده است، از این فرض استفاده نشده است. توجه به روابط فوق اختلاف مقادیر نامی و اغتشاشی در رابطه ۱۸ به صورت زیر می‌باشد:

$$\Delta x_{(t_k)} = \hat{x}_{t_k} - x_{t_k}^* \quad (۲۲)$$

$$\Delta y_{(t_k)} = \hat{y}_{t_k} - y_{t_k}^* \quad (۲۳)$$

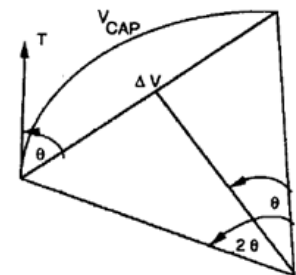
$$\Delta v_{(t_k)} = \hat{v}_{t_k} - v_{t_k}^* \quad (۲۴)$$

که در آن $x_{t_k}^*$, $y_{t_k}^*$ و $v_{t_k}^*$ مقادیر نامی موقعیت و اندازه بردار سرعت می‌باشد که قبل از شلیک ذخیره می‌گردد. مسئله مورد نظر صفر نمودن انحرافات از مسیر نامی است. در رابطه ۱۸ با قرار دادن $0 = \Delta L$ و با فرض سوزش کامل موتور سوخت جامد، زاویه اصلاح بردار سرعت به صورت 25 خواهد بود. می‌توان میزان نرخ تغییرات فرمان اصلاح زاویه سرعت را به صورت معادله دیفرانسیلی نوشت که در آن $\delta t = t_k - t$ می‌باشد. با انتگرال‌گیری با شرط اولیه صفر از رابطه ۲۶ فرمان هدایت به دست می‌آید.

با استفاده از بسط سری تیلورتابع سینوس خواهیم داشت:

$$\frac{\Delta V}{\Delta V_{cap}} = \frac{\theta - \theta^3}{\theta} = 1 - \frac{\theta^2}{6} \quad (۱۵)$$

$$\theta = \sqrt{6(1 - \frac{\Delta V}{\Delta V_{cap}})} \quad (۱۶)$$



شکل ۱. زوایای پایه در روش مدیریت انرژی

مسئله مهم در این روش به دست آوردن مقدار θ است که طبق آن باید بردار نیروی پیشران نسبت به ΔV (یا V_g) انحراف یابد تا اصابت به هدف محقق گردد. بر اساس روش تجربی برای موشک سوخت جامد به برد ۲۰۰ کیلومتر زاویه θ_c به صورت زیر پیشنهاد شده است [۶] که در آن برای اصابت به هدف زاویه بردار سرعت موشک باید پس از خاموشی موتور به اندازه زاویه θ_c اصلاح شود.

$$\theta_c = \left(\frac{V_g}{2050}\right)^{3.5}$$

۵. هدایت تابعی به روش تخمین اندازه بردار موقعیت و سرعت

چون روش ارائه شده در این مقاله، توسعه‌یافته هدایت تابعی است، ترجیح داده می‌شود که روش هدایت تابعی با تفسیر بیشتری توضیح داده شود. اگر L بردار موشک باشد، برد L بر حسب نقطه t_k را می‌توان به صورت زیر نوشت [۱۱-۸]:

$$L = L(x_{t_k}, y_{t_k}, v_{t_k}, \gamma) \quad (۱۷)$$

که در آن اندیس t_k زمانی پس از خاموشی موتور است که در آن فشار دینامیکی یا نیروی کنترل اثرو دینامیکی تا حد قابل ملاحظه‌ای کاهش یافته است. هدف اصلی این روش آن است که تا لحظه t_k زاویه بردار سرعت چنان عوض شود که در صورت ادامه مسیر پس از زمان t_k و بدون فرمان هدایت و کنترل، خطای اصابت صفر گردد. پارامترهای y_{t_k} و x_{t_k} مقادیر موقعیت (در دستگاه تانزانی) در جهت x و y و v_{t_k} زاویه مسیر و اندازه

اغتشاش‌هایی مثل باد، نیروی پیشران یا عوامل دیگر صورت می‌گیرد. این اطلاعات به عنوان مقادیر نامی ذخیره می‌شوند. در پرواز واقعی (اغتشاشی) همواره باد یا خطای نیروی پیشران و جز این‌ها وجود دارد که خروجی‌های دینامیکی ناشی از آنها توسط سیستم ناوبری در حین پرواز محاسبه می‌شود. برای محاسبه مسیر اغتشاشی خطاهای مختلف به موشک وارد می‌شود و نتیجه این خطاهای بر عملکرد موشک بررسی می‌شود که از آن به عنوان مسیر اغتشاشی یاد می‌شود. خطاهای مسیر اغتشاشی می‌توانند شامل باد، خطای نیروی پیشران، خطاهای ضرائب اثروهای دینامیک و جز این‌ها باشند. جزئیات بیشتر در مورد مسیر اغتشاشی و شبیه‌سازی مونت کارلو در [۱۴] ذکر شده است. ثبت مقادیر نامی مطابق شکل ۳ قبل از شروع هدایت (زمان t_1) شروع می‌شود و تا انتهای زمان هدایت (t_n) ادامه می‌یابد. در کامپیوتر پرواز موشک اطلاعات نامی بردارهای موقعیت و سرعت قبل از پرواز در آرایه‌ای مطابق جدول ۱ ذخیره می‌شوند. اختلاف مقادیر نامی و اغتشاشی، در حین پرواز به طریق خاصی پردازش می‌شود. بدین معنا که اگر اختلاف مقادیر نامی و اغتشاشی بدون هیچ‌گونه پردازشی در زمان جاری t وارد رابطه هدایت گردد، منجر به صدور فرامین هدایت بزرگ خواهد شد. برای توضیح بیشتر موشکی را در نظر بگیرید که در برد پیشینه شلیک گردد. اگر خطای زمان سوزش موتور، با حفظ سطح کل زیر منحنی تراست - زمان، نسبت به حالت نامی پنج درصد افزایش (یا کاهش) یابد، در چنین حالتی به دلیل ثابت بودن تقریبی سطح زیر منحنی تراست زمان، اصلاح زاویه مسیر برای اصابت به هدف بسیار کوچک و با توجه به وجود هدایت در آخر مسیر، قابل صرف‌نظر می‌باشد. در چنین پروازی اگر اختلاف مقادیر نامی و اغتشاش بر حسب زمان t صورت پذیرند، منجر به دینامیک نامناسب و صدور فرامین تند خواهد شد. زیرا در اثر تغییر زمان سوزش، مقادیر سرعت نامی و اغتشاشی در لحظه t برابر نخواهند بود. در چنین حالتی برابری سرعت نامی و اغتشاشی در لحظات بعد (یا قبل) انجام خواهد شد. بدین‌منظور نیاز به پردازش انرژی موشک شامل خطاهای موتور و اثروهای دینامیک و مطرح کردن تعاریفی است که در ادامه به آن پرداخته می‌شود.

مقادیر نامی و اغتشاشی اندازه بردار موقعیت و سرعت بر حسب زمان به صورت زیر تعریف می‌شوند:

$$r(t) = r^*(t) + \Delta r \quad (27)$$

$$v(t) = v^*(t) + \Delta v \quad (28)$$

$$\hat{\gamma}_{t_k} = -\frac{\frac{\partial L}{\partial x}\Big|_{y_{t_k}^*} \Delta x(t_k) + \frac{\partial L}{\partial y}\Big|_{x_{t_k}^*} \Delta y(t_k)}{\frac{\partial L}{\partial \gamma}\Big|_{x_{t_k}^* y_{t_k}^*}} \quad (25)$$

$$\begin{cases} \dot{\gamma}_c = \frac{\hat{\gamma}_{t_k} - \gamma_c}{\delta t} & \text{For } \delta t \geq 1 \\ \dot{\gamma}_c = \hat{\gamma}_{t_k} - \gamma_c & \text{for } \delta t < 1 \end{cases} \quad (26)$$

روش هدایت تابعی فوق دو مشکل دارد:

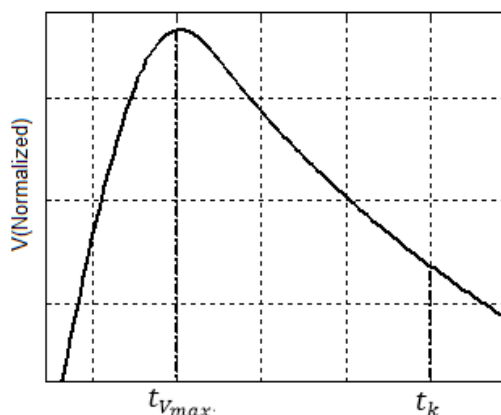
۱. اگر در بازه $[t_{V_{max}}, t_k]$ نیروی کنترلی به اندازه کافی موجود نباشد، این روش ناکارامد است. بهخصوص که اگر زمان سوزش به هر دلیل افزایش یابد، زمان $t_{V_{max}}$

جلوته رود و مشکل نیروی کنترلی بیشتر می‌شود

۲. با توجه به روابط ۱۹ تا ۲۱ و شکل ۲، فرض تغییرات خطی سرعت همیشه صادق نیست. این حالت باعث می‌شود که در حالت بدون اغتشاش نیز انحراف سطوح

کنترلی صفر نباشد

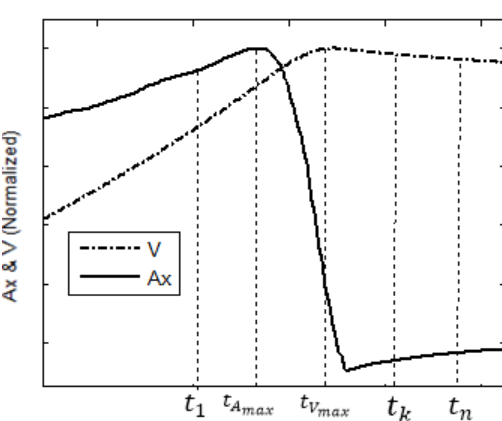
با توجه به دو مشکل فوق، در ادامه روش ساده دیگری پیاده‌سازی و به عنوان روشی نو در این مقاله ارائه شده است.



شکل ۲. منحنی سرعت موشک در حوالی نقطه خاموشی

۶. روش هدایت تابعی پیشنهادی

در این روش اطلاعات مربوط به زمان، اندازه بردارهای موقعیت و سرعت‌های نامی قبل از پرتاب مطابق جدول ۱ توسط برنامه شبیه‌سازی ذخیره می‌شوند. چون ذخیره مقادیر فوق در عدم حضور



شکل ۳. تغییرات سرعت و موقعیت در پرواز نامی

جدول ۱. نحوه ذخیره اطلاعات پرواز

t	$ \bar{V}^*(t) $	$ \bar{R}^*(t) $
t_1	$v^*(t_1)$	$r^*(t_1)$
\vdots	\vdots	\vdots
t_n	$v^*(t_n)$	$r^*(t_n)$

۱. \hat{t}_v زمانی است که در آن سطح زیر منحنی سرعت - زمان (اندازه بردار موقعیت) در مسیر نامی و اغتشاشی برابر باشد.
۲. \hat{t}_r زمانی است که در آن سطح زیر منحنی موقعیت - زمان در مسیر نامی و اغتشاشی برابر باشد.
۳. $(\hat{t}_v)^*$ اندازه لحظه‌ای بردار سرعت نامی موشک در لحظه \hat{t}_v را تخمین مقدار نامی اندازه بردار سرعت می‌نامیم.
۴. $(\hat{t}_r)^*$ اندازه لحظه‌ای بردار موقعیت نامی موشک در لحظه \hat{t}_r را تخمین مقدار نامی اندازه بردار موقعیت می‌نامیم. با توجه به تعاریف فوق، اندازه اصلاح زاویه بردار سرعت به صورت زیر تعریف می‌شود:

$$\hat{\gamma}(t) = - \frac{\frac{\partial L}{\partial r} \Big|_{v_{t_k}^*} [r(t) - r^*(\hat{t}_r)]}{\frac{\partial L}{\partial \gamma} \Big|_{r_{t_k}^*}} - \frac{\frac{\partial L}{\partial v} \Big|_{r_{t_k}^*} [v(t) - v^*(\hat{t}_v)]}{\frac{\partial L}{\partial \gamma} \Big|_{r_{t_k}^*}} \quad (29)$$

نکته قابل توجه آنکه در روش قبلی مقادیر اندازه‌های بردار موقعیت و سرعت در لحظه t_k تخمین زده می‌شود. در آن روش تخمین در حالت ساده و خاص که نرخ تغییرات موقعیت و سرعت پس از خاموشی موتور، خطی است ارائه شده است [۹-۸]. در روش پیشنهادی بر اساس روش زیر پیچیدگی این موضوع برطرف شده است:

۱. تغییرات سرعت لحظه‌ای موشک، در هر لحظه بر اساس اختلاف سرعت موشک در پرواز اغتشاشی و سرعت نامی موشک در زمان \hat{t} محاسبه می‌شود. مفهوم فیزیکی این ایده با توجه به تعریف \hat{t} آن است که اختلاف سرعت در هر لحظه بر اساس موقعیت یکسان در مسیر نامی و اغتشاشی محاسبه می‌شود
 ۲. تغییرات موقعیت لحظه‌ای موشک، در هر لحظه، بر اساس اختلاف موقعیت موشک در مسیر پرواز واقعی (اغتشاشی) و موقعیت نامی موشک در زمان \hat{t} محاسبه می‌شود
 ۳. محاسبه مقادیر مشتقات جزئی قبل از خاموشی موتور و در حالت تغییرات شدید نیروی اثrodینامیکی، نسبتاً بزرگ و غیرواقعی است که به نوبه خود می‌تواند منجر به ناپایداری فرمان شود. بنابراین مقادیر مشتقات $\frac{\partial L}{\partial r}$, $\frac{\partial L}{\partial v}$ و $\frac{\partial L}{\partial \gamma}$ در لحظه t_k محاسبه می‌شوند که در آن زمان موتور قطعاً خاموش شده است و نیروی اثrodینامیکی در آن زمان تا حد قابل توجهی کاهش یافته است. در این حالت، ضرب مشتقات جزئی در مقادیر Δr و Δv مربوطه، تخمینی از خطای اصابت خواهد داد
- با توجه به توضیحات فوق خواهیم داشت:

$$\Delta r = r(t) - r^*(\hat{t}_r) \quad (30)$$

$$\Delta v = v(t) - v^*(\hat{t}_v) \quad (31)$$

نکات قابل توجه در روابط فوق به شرح زیر است:

۱. با استفاده از مفهوم $(\hat{t}_r)^*$ و $(\hat{t}_v)^*$ تضمین می‌شود که در تمامی حالتها سطح جاروب شده زیر منحنی موقعیت - زمان و سرعت - زمان در حالت نامی و اغتشاشی همواره صعودی است. در این صورت اگر موشک در نزدیک مسیر نامی پرواز کند، پارامترهای $r^*(\hat{t}_r)$ و $v^*(\hat{t}_v)$ نماینده خوبی جهت محاسبه خطاهای موقعیت و سرعت طبق روابط ۳۰ و ۳۱ می‌باشند

If $(\hat{\gamma}_c < -\gamma_{c_{max}})$ $\hat{\gamma}_c = -\gamma_{c_{max}}$
 در شکل‌های ۶ و ۷ اختلاف سرعت و موقعیت نامی و
 اغتشاشی بر اساس زمان t_r و \hat{t}_r نمایش داده شده است. در
 این شکل‌ها برخلاف شکل‌های ۴ و ۵ حالت افزایش انرژی مورد
 بررسی قرار گرفته‌اند. در این بررسی زمان سوزش پنج درصد
 کاهش یافته است که با فرض ثابت‌بودن سطح زیر منحنی تراست
 - زمان، دامنه تراست پنج درصد افزایش می‌یابد. علاوه بر این،
 بهمیزان پنج درصد به عنوان اغتشاش دامنه تراست افزایش یافته
 است. همان‌طور که در شکل‌های ۶ و ۷ نیز ملاحظه می‌شود،
 اختلاف اندازه بردارهای موقعیت، سرعت نامی و اغتشاشی بر
 اساس زمان t_r , \hat{t}_r رفتار ملایم‌تری دارند مزیت مهم این روش
 را می‌توان در موارد زیر خلاصه کرد:

۱. در روش جدید، فرمان هدایت قبل از خاموشی موتور که فشار
 دینامیکی بالاتر است، به صورت لحظه‌ای ارسال می‌شود. لذا
 قابلیت جبران اغتشاش نسبت به حالت قبل بیشتر است
۲. در روش قبل تخمین پارامترها در لحظه t_k در صورتی
 درست است که تغییرات آنها خطی باشد. در غیر این صورت
 باید روابط تخمین دقیق‌تر و پیچیده‌تر به کار برد
 با توجه به شکل‌های ۶ و ۷ و رابطه ۳۳ ملاحظه می‌شود که
 خطی‌کردن فرمان هدایت در ابتدای شروع هدایت تأثیر خطای
 Δr و Δv در لحظات اولیه را کاهش می‌دهد. این عامل سبب می‌شود
 که فرمان هدایت با دینامیک ملایم به مقدار مورد نظر نزدیک
 گردد. در ادامه نتایج شبیه‌سازی فرمان هدایت و دینامیک موشک
 پس از پیاده‌سازی مشتقات جزئی ارائه می‌گردد.

۷. محاسبه مشتقات جزئی مرتبه اول و دوم

برای محاسبه مشتقات جزئی می‌توان از برنامه شبیه‌سازی استفاده کرد. بدین‌صورت که در لحظه $t=t_k$ هریک از مقادیر v و r به ترتیب به اندازه Δv و Δr اغتشاشی می‌گردد و خطای اصابت در اثر این عوامل اغتشاشی و بدون انحراف سطوح کنترلی (پس از $t=t_k$) ارزیابی می‌گردد. مشتقات جزئی به صورت زیر بدست می‌آید [۱۳-۱۲]:

$$\frac{\partial L}{\partial r} = \frac{L(r_{t_k}^* + \Delta r) - L(r_{t_k}^* - \Delta r)}{2\Delta r} \quad (35)$$

$$\frac{\partial L}{\partial v} = \frac{L(v_{t_k}^* + \Delta v) - L(v_{t_k}^* - \Delta v)}{2\Delta v} \quad (36)$$

که در آن $r_{t_k}^*$ و $v_{t_k}^*$ به ترتیب اندازه نامی بردار موقعیت و سرعت در لحظه t_k می‌باشد.

۲. می‌توان به جای \hat{t}_r از تعاریف دیگری چون \hat{t}_a استفاده کرد که \hat{t}_a زمانی تعریف می‌شود که در آن زمان سطح زیر منحنی شتاب - زمان (سرعت) در مسیر نامی و اغتشاشی برابر باشد، اما مشکل این است که به دلیل تغییر رفتار منحنی شتاب - زمان از حالت صعودی به نزولی، در حوالی خاموشی موتور و پس از آن، منجر به یافتن دو جواب برای \hat{t}_a می‌شود که مطلوب نیست

۳. در صورتی که به جای رابطه $\Delta r = r(t) - r^*(\hat{t}_r)$ از $\Delta r = r(t) - r^*(t)$ استفاده شود، طبق شکل ۴ خطای Δr به اندازه‌ای بزرگ محاسبه می‌گردد که منجر به صدور فرامین بزرگ می‌شود. در مورد Δv نیز طبق شکل ۵ تحلیل مشابه می‌باشد

همان‌گونه که در این منحنی‌ها مشاهده می‌شود، مقادیر خطای بردار موقعیت و سرعت علاوه بر اینکه دامنه کوچکتری نسبت به منحنی خط چین دارند، تغییرات کمتری نیز دارند. واضح است که وارد شده این مقادیر در رابطه هدایت ۲۹ سبب ایجاد فرامین بهتری خواهد شد. به‌منظور احتیاط و پرهیز از فرامین تند در لحظه شروع هدایت، می‌توان فرمان را خطی کرد به‌گونه‌ای که در ابتدای هدایت، فرمان صفر باشد و علاوه بر آن محدودیت در میزان خط از نظر گرفت:

$$\hat{\gamma}_c(t) = -K_\gamma \frac{\frac{\partial L}{\partial r}\Big|_{v_{t_k}^*} \Delta r + \frac{\partial L}{\partial v}\Big|_{r_{t_k}^*} \Delta v}{\frac{\partial L}{\partial v}\Big|_{r_{t_k}^*}} \quad (32)$$

که در آن می‌توان ضریب خطی کردن فرمان هدایت یا ضریب K_γ را به صورت زیر معرفی کرد:

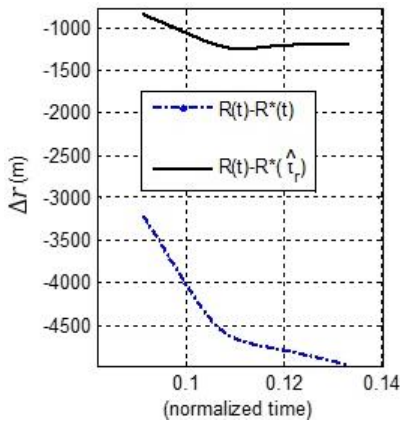
$$K_\gamma = \sqrt{\frac{t - t_{A_{max}}}{t_k - t_{A_{max}}}} \quad (33)$$

در روش هدایت جدید، اختلاف مقادیر نامی و اغتشاشی به اندازه معنی محدود می‌گردد حدود اشباع، توسط برنامه شبیه‌سازی تحت عوامل اغتشاشی مختلف به دست می‌آید:

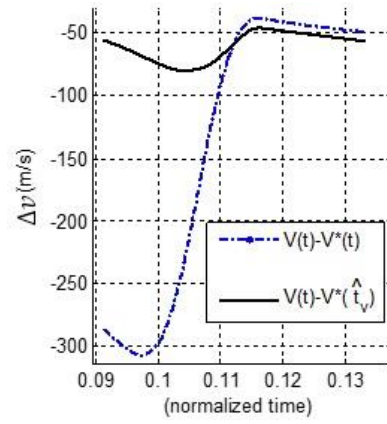
$$\begin{cases} |\Delta v| < \Delta v_{Max} \\ |\Delta r| < \Delta r_{Max} \\ |\hat{\gamma}_c| < \gamma_{c_{max}} \end{cases} \quad (34)$$

برای توضیح بیشتر برای پیاده‌سازی اشباع فرمان هدایت $\hat{\gamma}_c$ برنامه شبیه‌سازی به صورت زیر می‌باشد:

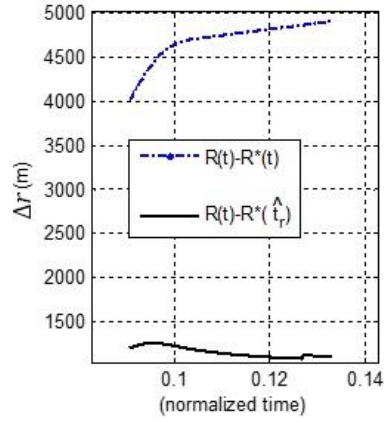
$$\text{if } (\hat{\gamma}_c > \gamma_{c_{max}}) \quad \hat{\gamma}_c = \gamma_{c_{max}}$$



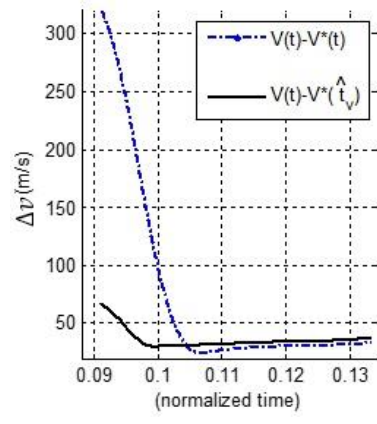
شکل ۵. خطای بردار موقعیت در اثر خطای کاهش دامنه تراست و افزایش زمان سوزش



شکل ۴. خطای بردار سرعت در اثر خطای کاهش دامنه تراست و افزایش زمان سوزش



شکل ۷. مقایسه خطای بردار موقعیت در اثر خطای افزایش دامنه تراست و کاهش زمان سوزش



شکل ۶. مقایسه خطای بردار سرعت در اثر خطای افزایش دامنه تراست و کاهش زمان سوزش

$$\begin{aligned} \frac{\partial L}{\partial \gamma} &= \frac{\partial L}{\partial v_x} \frac{\partial v_x}{\partial \gamma} + \frac{\partial L}{\partial v_y} \frac{\partial v_y}{\partial \gamma} \\ &= v_{t_k} \left[-\frac{\partial L}{\partial v_x} \sin(\gamma_{t_k}) + \frac{\partial L}{\partial v_y} \cos(\gamma_{t_k}) \right] \end{aligned} \quad (43)$$

با نظر گرفتن جملات مرتبه دوم در بسط تیلور حول نقطه t_k , می‌توان فرمان هدایت در رابطه ۳۲ را به صورت زیر در نظر گرفت:

$$\hat{\gamma}_c(t) = -K_\gamma \frac{\frac{\partial L}{\partial r} \Delta r + \frac{\partial L}{\partial v} \Delta v + \frac{\partial^2 L}{\partial r^2} \Delta r^2 + \frac{\partial^2 L}{\partial v^2} \Delta v^2}{\frac{\partial L}{\partial \gamma}} \quad (44)$$

که در آن $\frac{\partial^2 L}{\partial v^2}$ به صورت زیر می‌باشد [۱۴]:

$$\begin{aligned} \frac{\partial^2 L}{\partial r^2} &= \frac{\partial^2 L}{\partial x^2} \cos^2(\vartheta) + \frac{\partial^2 L}{\partial y^2} \sin^2(\vartheta) \\ &\quad + 2 \frac{\partial^2 L}{\partial x \partial y} \sin(\vartheta) \cos(\vartheta) \end{aligned} \quad (45)$$

$$\text{با در نظر گرفتن } (\frac{y_{t_u}}{x_{t_u}}) \vartheta_{xy} = \tan(\frac{y_{t_u}}{x_{t_u}}) \text{ داریم:} \quad (37)$$

$$x_{t_k} = r_{t_u} \cos(\vartheta_{xy}) \quad (38)$$

$$y_k^* = r_{t_u} \sin(\vartheta_{xy}) \quad (39)$$

$$\begin{aligned} \frac{\partial L}{\partial r} &= \frac{\partial L}{\partial x} \frac{\partial x}{\partial r} + \frac{\partial L}{\partial y} \frac{\partial y}{\partial r} \\ &= \frac{\partial L}{\partial x} \cos(\vartheta_{xy}) + \frac{\partial L}{\partial y} \sin(\vartheta_{xy}) \end{aligned} \quad (40)$$

$$\text{با در نظر گرفتن } (\frac{y_{t_k}}{x_{t_k}}) \gamma_{t_k} = \tan(\frac{y_{t_k}}{x_{t_k}}) \text{ داریم:} \quad (41)$$

$$v_x = v_{t_k} \cos(\gamma_{t_k}) \quad (42)$$

$$v_y = v_{t_k} \sin(\gamma_{t_k}) \quad (43)$$

$$\begin{aligned} \frac{\partial L}{\partial v} &= \frac{\partial L}{\partial v_x} \frac{\partial v_x}{\partial v} + \frac{\partial L}{\partial v_y} \frac{\partial v_y}{\partial v} = \\ &\quad \frac{\partial L}{\partial v_x} \cos(\gamma_{t_k}) + \frac{\partial L}{\partial v_y} \sin(\gamma_{t_k}) \end{aligned} \quad (44)$$

جدول مقادیر نامی و مفاهیم \hat{r} و $\hat{\theta}$ ، فرمان هدایت محاسبه می شود. نتایج شبیه سازی در شکل های ۹ الی ۱۲ نمایش داده شده است. در این شبیه سازی، اغتشاشی در نیروی پیشران به اندازه پنج درصد (کاہشی) و خطأ در زمان سوزش به اندازه پنج درصد (افزایشی) لحاظ شده است.

همان گونه که در این شکل ها ملاحظه مشاهده می شود، در روش جدید انحراف سطوح کنترلی کمتر، قابلیت شتاب نرمال بالاتر و زاویه حمله کمتری حاصل شده است که نشان دهنده آن است که روش جدید مناسب تر است. در شکل ۱۳ مسیر حرکت موشک نمایش داده شده است. همان گونه در این شکل مشاهده می شود، در روش جدید مانور لازم در فاز ورود به جو به شدت کاہش یافته است. این موضوع بدليل محدودیت های سازه ای و گرمایشی بسیار حائز اهمیت است. علت اصلی اینکه در شکل های ۱۲ یا ۱۳ رفتار منحنی ها در هر دو روش مشابه نشده است، به تفاوت روش اول و دوم مربوط می گردد.

در منحنی ۱۳ مشاهده می گردد که هر دو موشک با طی برد یکسان به هدف اصابت کرده اند، اما در روش اول به علت هدایت و کنترل مرحله نهایی (پس از ورود به جو) با طی مسیر کروز بیشتر، به هدف اصابت کرده است؛ بدین معناست که اگر خطای وارد بر موشک در مرحله فعال (روشن بودن موتور) بیش از این افزایش پیدا کند، روش اول حتی در مرحله آخر پروازی نیز (که موضوع این مقاله نیست) ناکارآمد خواهد بود و به هدف اصابت نخواهد کرد. از دیدگاه دیگر، روش اول (که جزء سوابق و پیشینه طراحی است) نتوانسته است مسیر حرکت موشک را جایه جا نماید؛ زیرا در لحظه شروع هدایت، نیروی کنترلی اثرو دینامیکی کافی وجود ندارد، اما در روش دوم (با توجه به شکل ۹ و با رعایت ملاحظات ذکر شده در متن مقاله) شروع هدایت زودتر از روش اول انجام شده است و مورد تأیید واقع شده است.

در ادامه فرایند صحه گذاری روش پیشنهادی در سیستم هدایت و کنترل موشکی با هدایت فاز نهایی و کنترل اثرباره ای پیاده سازی شده است. در شکل ۱۴ مقدار اشباع فرمان هدایت از صفر تا ۹ درجه متغیر گرفته شده است. در این شکل به ازای اشباع های مختلف، سهم جبران خطای برد در حوالی خاموشی موتور به دست آمده است که در آن در سطوح اشباع بیش از ۷ درجه، تغییری در درصد جبران خطأ حاصل نشده است که به معنای اشباع فیزیکی بالک در این سطح از اشباع

و به صورت مشابه [۱۴]:

$$\frac{\partial^2 L}{\partial v_x^2} = \frac{\partial^2 L}{\partial v_x^2} \cos^2(\gamma_{t_k}) + \frac{\partial^2 L}{\partial v_y^2} \sin^2(\gamma_{t_k}) \quad (46)$$

$$+ 2 \frac{\partial^2 L}{\partial v_x \partial v_y} \sin(\gamma_{t_k}) \cos(\gamma_k)$$

که در آن به عنوان نمونه [۱۴]:

$$\frac{\partial^2 L}{\partial x^2} = \frac{L(x_{t_k} + \Delta x) - 2L(x_{t_k}) + L(x_{t_k} - \Delta x)}{\Delta x^2} \quad (47)$$

$$- \frac{L(x_{t_k} + \Delta x, Y_{t_k} - \Delta y) + L(x_{t_k} - \Delta x, y_{t_k} + \Delta y)}{4\Delta x \Delta y}$$

$$\frac{\partial^2 L}{\partial x \partial y} = \frac{L(x_{t_k} + \Delta x, y_{t_k} + \Delta y) + L(x_{t_k} + \Delta x, y_{t_k} - \Delta y)}{4\Delta x \Delta y} \quad (48)$$

$$- \frac{L(x_{t_k} + \Delta x, Y_{t_k} - \Delta y) + L(x_{t_k} - \Delta x, y_{t_k} + \Delta y)}{4\Delta x \Delta y}$$

به جای استفاده از رابطه ۳۹ و ۴۲ می توان مستقیماً با استفاده از شبیه سازی خروجی های مورد نیاز را استخراج کرد [۱۰]:

$$\frac{\partial^2 L}{\partial r^2} = \frac{L(r_{t_k}^* + \Delta r) - 2L(r_{t_k}^*) + L(r_{t_k}^* - \Delta r)}{\Delta r^2} \quad (49)$$

$$\frac{\partial^2 L}{\partial v^2} = \frac{L(v_{t_k}^* + \Delta v) - 2L(v_{t_k}^*) + L(v_{t_k}^* - \Delta v)}{\Delta r^2} \quad (50)$$

در جدول های ۲ و ۳ نتایج محاسبه مشتقات جزئی برای یک موشک نمونه آورده شده است. در شکل ۸ فرمان زاویه مسیر در پرواز اغتشاشی به ازای استفاده از مشتقات جزئی مرتبه اول و دوم آورده شده است. همان طور که در این شکل ملاحظه می شود، اضافه کردن مشتقات جزئی مرتبه دو به رابطه هدایت، تأثیر قابل ملاحظه ای در رفتار موشک ندارد.

۸. مقایسه روش هدایت تابعی و پیشنهادی

در نمودارهایی که در این بخش نمایش داده شده اند، دو روش مقایسه شده است. در این نمودارها روش اول همان است که در [۸] ارائه شده است. روش دوم نیز روش ارائه شده در مقاله حاضر است. همان طور که بیان شد، در روش هدایت تابعی اول، زمان هدایت از لحظه $t_{V_{max}}$ شروع می شود و تخمین پارامترهای موقعیت و سرعت، برای لحظه t_k به دست می آید. اما در روش پیشنهادی زمان شروع هدایت از لحظه $t_{A_{max}}$ بوده و بر اساس

سوژش، حدود ۷۰ درصد از خطای برد در حوالی خاموشی موتور و خطای باقیمانده در مرحله ورود به جو جبران شده است.

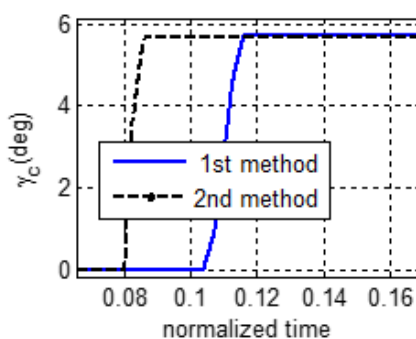
می باشد. با انتخاب مقدار سطح اشباع فرمان هدایت برابر با ۵ درجه، به ازای خطای افزایش دامنه نیروی پیشران و کاهش زمان

جدول ۲. نتایج محاسبه مشتقات جزئی با استفاده از شبیه سازی

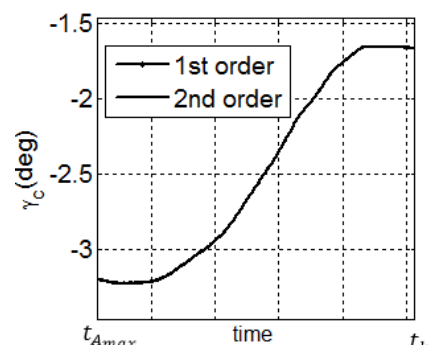
متغیر	نتیجه شبیه سازی
$\partial L / \partial x$	۱/۰۵
$\partial L / \partial v_x$	۲۶۲
$\partial L / \partial y$	۲/۰۷
$\partial L / \partial v_y$	۳۰۶

جدول ۳. مقایسه نتایج مشتقات جزئی

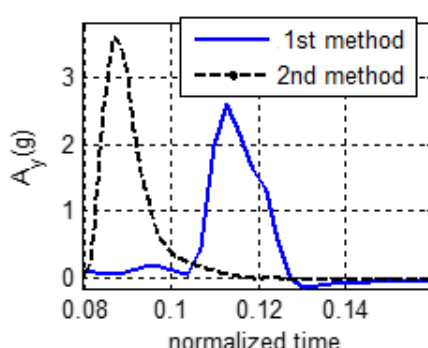
متغیر	مقدار	توضیح
$\frac{\partial L}{\partial r}$	۲/۱۱۳	طبق رابطه ۳۵
	۲/۱۰۹	طبق رابطه ۳۹
$\frac{\partial^2 L}{\partial r^2}$	۰/۰۰۰۵۰۳	طبق رابطه ۴۵
	۰/۰۰۰۰۵۰۱	طبق رابطه ۴۹
$\frac{\partial L}{\partial v}$	۴۰۷/۳۱۲	طبق رابطه ۳۶
	۴۰۶/۹۶	طبق رابطه ۴۲
$\frac{\partial^2 L}{\partial v^2}$	۰/۲۴۷	طبق رابطه ۴۶
	۰/۲۴۰	طبق رابطه ۵۰



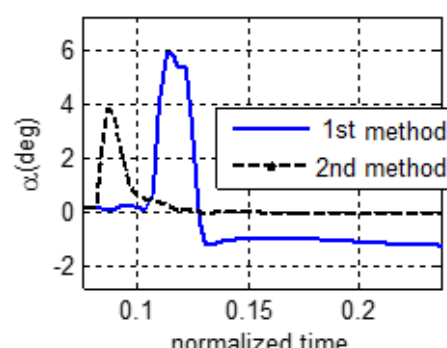
شکل ۹. دستور زاویه مسیر در روش هدایتی اول و دوم (پیشنهادی)



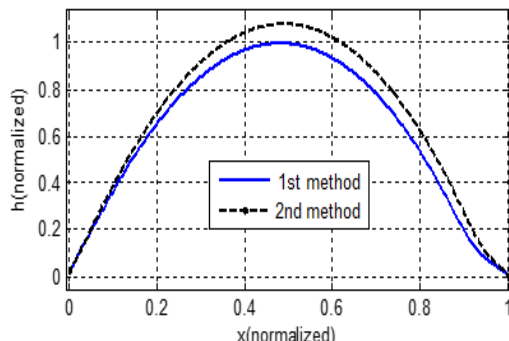
شکل ۸. مقایسه فرمان هدایت با مشتق جزئی مرتبه ۱ و ۲ در پرواز اغتشاشی



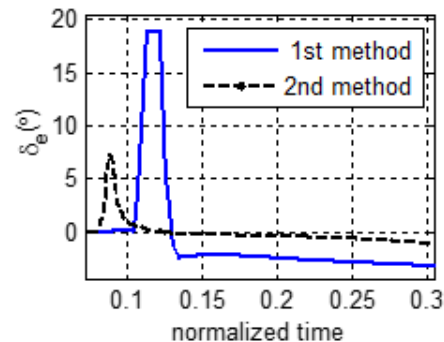
شکل ۱۱. شتاب نرمال در روش هدایتی اول و دوم (پیشنهادی)



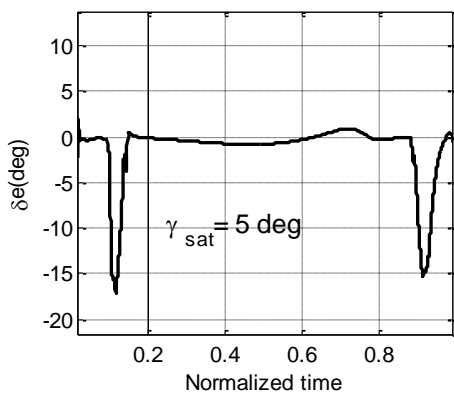
شکل ۱۰. زاویه حمله در روش هدایتی اول و دوم (پیشنهادی)



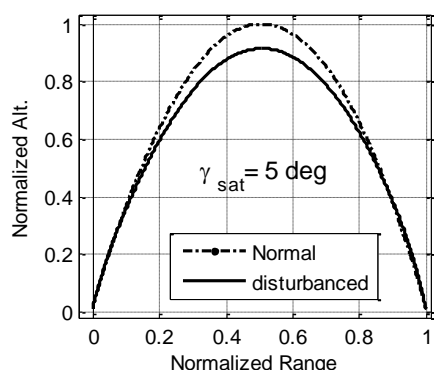
شکل ۱۳. مقایسه مسیر حرکت موشک در روش هدایتی اول و دوم (پیشنهادی)



شکل ۱۲. تغییرات سطوح کنترلی در روش اول و دوم (پیشنهادی)



شکل ۱۵. تأثیر اشباع فرمان هدایت در انحراف سطوح کنترلی با توجه به وجود هدایت فاز نهایی

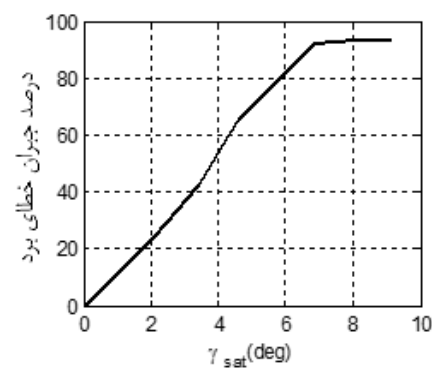


شکل ۱۶. مسیر پرواز در مسیر نامی و اغتشاشی با اشباع فرمان هدایت

تصمیم‌گیری دقیق در تعیین سطح اشباع فرمان هدایت نیاز به شناسایی دامنه کلیه عوامل خطا با توجه به رفتار دینامیکی موشک، عدم اشباع بالکهای کنترلی، حد تحمل سازه و اصابت به هدف می‌باشد که در آن نکات زیر حائز اهمیت است:

۱. عدم وجود اشباع، سبب ایجاد فرامین تن و در نتیجه افزایش زاویه حمله می‌شود که می‌تواند باعث تلاشی سازه در اثر نیروهای ائرودینامیکی گردد

در شکل ۱۵ ملاحظه می‌شود که با توجه به وجود هدایت فاز نهایی، بخشی از خطا در حوالی خاموشی موتور و باقیمانده خطا در مرحله ورود به جبران شده است. تقسیم‌بندی مناسب میزان جبران خطای موشک، در حوالی خاموشی موتور و در مرحله ورود به جو بسیار با اهمیت است. اگر تمام خطاهای در مرحله دوم و بدون حضور اشباع‌کننده‌ها انجام گیرد، امکان تلاشی سازه بهدلیل بارهای ائرودینامیکی افزایش می‌یابد. از دیدگاه جبران بیشتر خطاهای در حوالی خاموشی موتور، سبب تتدتر شدن دینامیک موشک می‌شود که می‌تواند باعث افزایش خطای حسگرهای ناوبری و در نتیجه عدم اصابت دقیق به هدف گردد. به عبارت دیگر اگر بخشی از خطاهای عمدتاً به مرحله آخر پرواز واگذار گردد، زمان باقیمانده از پرواز آن قدر نخواهد بود که بر دقت سیستم ناوبری اثر قابل توجهی بگذارد. در شکل ۱۶ تأثیر اشباع فرمان هدایت در پرواز اغتشاشی و بدون اغتشاش نشان داده شده است. در این شکل، که منحنی برد بر حسب ارتفاع می‌باشد، ملاحظه می‌گردد که هر دو مسیر منجر به اصابت به هدف شده‌اند.



شکل ۱۴. تأثیر اشباع فرمان هدایت

پس از خاموشی موتور در جبران خطای برد

(اندازه بردار موقعيت) در مسیر اغتشاشی و نامی برابر می شود. زمان t_r زمانی معرفی شد که در آن سطح زیر منحنی موقعيت - زمان در مسیر اغتشاشی و نامی برابر باشد. با استفاده از این مفاهيم قابلیت روش هدایت در صورت وجود اغتشاش افزایش می يابد. روش هدایت جدید با روش هدایت تابعی مقایسه و چنین نتيجه گیری شد که اگر خاموشی موتور در جو نسبتاً رقيق باشد روش هدایت جدید، روشی موثرتر (نسبت به روش اول) می باشد. طبق نتایج شبیه سازی روش هدایت جدید در مقایسه با روش هدایت تابعی، قابلیت بیشتری برای جبران اغتشاشات در فشارهای دینامیکی پایین دارد که علت اصلی آن ارائه روش هدایت برای زودتر شروع کردن فرمان هدایت و ملاحظات آن می باشد. تصدیق روش هدایت توسط برنامه شبیه سازی و در حضور عوامل اغتشاشی و با به کار گیری مشتقات جزئی مرتبه اول و دوم و پیاده سازی اشباع فرمان هدایت انجام گرفت. در این روش با اصلاح مناسب زاویه مسیر، اصابت به هدف نمایش داده شد. در روش جدید نشان داده شد که دینامیک موشک و فرامین صادر شده نسبت به روش اول، مناسب تر و قابلیت جبران اغتشاش آن بالاتر می باشد.

۲. عدم وجود اشباع سبب افزایش سرعتهای زاویه ای موشک و در نتیجه افزایش خطای سیستم ناوبری می گردد. در این صورت هر قدر نرم افزار هدایت و کنترل هم درست طراحی شده باشد، به دلیل افزایش خطای سیستم ناوبری، موشک به هدف اصابت نخواهد کرد
۳. اندازه اشباع فرمان هدایت باید با توجه با قابلیت جبران خطاهای سیستمی در مرحله ورود به جو صورت پذیرد که ملاحظات مربوط به حد تحمل سازه، دینامیک ملایم، کاهش خطای حسگرهای ناوبری و تضمین اصابت به هدف از نکات قابل توجه در تعیین حد اشباع می باشند

۹. نتیجه گیری

در این مقاله روش هدایت برای جبران خطاهای خاموشی موتور سوخت جامد ارائه و با روش هدایت تابعی مقایسه شد. در روش پیشنهادی برای به دست آوردن مقادیر نامی بردارهای موقعيت و سرعت از اطلاعات ذخیره شده استفاده می شود. بدین منظور زمان t_r زمانی معرفی شد که در آن، سطح زیر منحنی سرعت - زمان

۱۰. مأخذ

- [1] R. H., Battin, *An Introduction to the Mathematics and Methods Astrodynamics*, Revised edition, Reston: AIAA Inc., 1999.
- [2] M. A. Masoumnia, Q_Guidance in rotating coordinates, AIAA-01-2784-CP, 1991.
- [3] S. Nelson, P. Zarchan, Alternative Approach to the solution of Lambert's Problem, Journal of Guidance, control and dynamics, Vol.15, No.4, 1992.
- [4] P. Zarchan, Tactical and Strategic Missile Guidance, Vol. 124, Progress in Astronautics and Aeronautics, AIAA , 1990.
- [5] GH. Alizadeh, Guidance Algoritm for cut-off insensitive Balistic Missile, Thesis of PHD, Modares University, 1378. (In Persian)
- [6] M. R. Amini, Guidance Agoritm for Ballistic Missie, thesis of master of science, Tehran University, 1374. (In Persian)
- [7] N. Prabhakar, I. D. Kumar, A Predictive Explicit Guidance Scheme for Ballistic Missile, *Defence Science Journal*, Vol. 6, No. 5, pp. 456-461, India, 2013.
- [8] R. Esmaeilzadeh, Functional Guidance Method for ballistic missie, Thesis of M.Sc., Amir Kabir University, 1379. (In Persian)
- [9] S. M. Hoseini, Design and Simulation of Near Guidance System for Ballistic Missile, Thesis of Master of Sceience in Control Engineering, Iran University of Science and Tecnology, 2001.
- [10] N. Gahremani, Predicted Guidance Method based on prediction of solid propellant burning time, Thesis of PHD Amir Kabir University, 1388.
- [11] A. U. Ishlinski, *Inertial guidance of Ballistic Missile*, Moscow, 1968
- [12] K. A. Hoffman, S. T. Chiang, *Computational Fluid Dynamics Engineering*, Volume one, 1993.
- [13] R. L. Burden, J. D. Fairs, *Numerical Analysis*, 9th edition, 2010.
- [14] M. Havaei, Guidance and Control Design of a short Range Aerodynamic Control Missile,

